

NGU Rapport 2000.025

Georadarmålinger i forbindelse med kartlegging
av grunnvarmepotensialet i løsmasser ved Voss

| | | |
|---|----------------------------|--|
| Rapport nr.: 2000.025 | ISSN 0800-3416 | Gradering: Åpen |
| Tittel: Georadarmålinger i forbindelse med kartlegging av grunnvarmepotensialet i løsmasser ved Voss | | |
| Forfatter: Jan Fredrik Tønnesen | | Oppdragsgiver: NGU / Voss kommune |
| Fylke: Hordaland | | Kommune: Voss |
| Kartblad (M=1:250.000) Odda | | Kartbladnr. og -navn (M=1:50.000) 1316 III Voss |
| Forekomstens navn og koordinater: Tvildemoen 32V 3599 67247, Vossevangen 32V 3591 67235 | | Sidetall: 29 Pris: 240,- Kartbilag: 7 |
| Feltarbeid utført: 31.08.-01.09.1999 | Rapportdato: 25.09.2000 | Prosjektnr.: 2771.05 |
| | | Ansvarlig: <i>Jan S. Rønning</i> |

Sammendrag:

I samarbeid med Voss kommune har NGU utført georadarmålinger og en del grunnboringer for å vurdere grunnvarmepotensialet i løsmasser nær Voss sentrum. Denne rapporten presenterer opptak og tolkning av georadarmålingene, men for tolkningen er også resultater fra grunnboringene benyttet. Målingene omfatter 11 georadarprofiler med samlet lengde nær 5,2 km, hvorav 4 profiler på til sammen 1,4 km er målt på Tvildemoen og 7 profiler på til sammen vel 3,7 km er målt i området Vossevangen. Det er mektighet og utbredelse av vannmettede sand/grus-dominerte avsetninger som er avgjørende for vurdering av grunnvarmepotensialet i området.

På Tvildemoen er det bare under deler av moen at det ligger løsmasser under grunnvannsspeil og mektigheten av vannmettet sone i løsmassene er begrenset til noen få meter. Løsmassene har variabel og til dels kompleks sammensetning og er for en del også morenedominert. Tvildemoen regnes derfor å være dårlig egnet for uttak av større mengder grunnvann og vurderes å ha meget lavt grunnvarmepotensiale.

Sentrale deler av Vossevangen, dvs. området mellom Vosso og Vangsvatnet, regnes å ha et høyt grunnvarmepotensiale med mektigheter av vannmettede sand/grus-dominerte avsetninger varierende fra 15 til 25 m. Område vest, dvs. vestover langs nordsiden av Vangsvatnet, synes å ha et meget begrenset grunnvarmepotensiale med aktuelle løsmassemektigheter varierende fra 3 til maksimum 9 m. Område øst, dvs. på løsmasseflaten øst for Vosso, regnes å ha et visst grunnvarmepotensiale, men betydelig mindre enn i området vest for elva. Aktuelle løsmassemektigheter varierer stort sett mellom 6 og 14 m. Område sør, dvs. området mellom utløpene av Vosso og Bordalselva i Vangsvatnet, synes å ha et forholdsvis høyt grunnvarmepotensiale med aktuelle løsmassemektigheter på 10-15 m sentralt i området, men er på 17-24 m både i nordlige og sørlige del av området.

Ut fra resultatene av georadarmålingene og grunnboringene skal NVE utføre modellberegninger for mer kvantitativ vurdering av grunnvarmepotensialet for hele området Vossevangen.

| | | |
|--------------------|------------|----------|
| Emneord: Geofysikk | Georadar | Løsmasse |
| Grunnvann | Grunnvarme | |
| | | Fagrappo |

INNHOLD

| | | |
|-------|---|----|
| 1. | INNLEDNING | 4 |
| 2. | MÅLEMETODE OG UTFØRELSE | 4 |
| 3. | RESULTATER | 5 |
| 3.1 | Tvildemoen (P1, P1B, P2, P3 og P11) | 5 |
| 3.1.1 | Profilbeskrivelser | 6 |
| 3.1.2 | Konklusjon | 6 |
| 3.2 | Vossevangen (P4, P5, P6, P7, P8, P9 og P10) | 7 |
| 3.2.1 | Profilbeskrivelser | 7 |
| 3.2.2 | Konklusjon | 9 |
| 4. | REFERANSER | 10 |

TEKSTBILAG

1. Georadar – metodebeskrivelse
2. Skjema for tolkning av refleksjonsmønster

DATABILAG

1. Hastighetsanalyser (CMP1 og CMP2)
2. Tabellarisk tolkning av dyp til grunnvannsspeil og dyp til tette masser for P4-P10
3. Resultater grunnboringer Voss (Undersøkelsesbrønner og Sonderboringer)

KARTBILAG

- 2000.025-01 Oversiktskart Voss (M 1:50 000)
2000.025-02 Georadaropptak Tvildemoen – profilene P1, P1B og P11
2000.025-03 Georadaropptak Tvildemoen – profilene P2 og P3
2000.025-04 Georadaropptak Vossevangen – profilene P4 og P5
2000.025-05 Georadaropptak Vossevangen – profilene P6 og P7
2000.025-06 Georadaropptak Vossevangen – profil P8
2000.025-07 Georadaropptak Vossevangen – profilene P9 og P10

1. INNLEDNING

I samarbeid med Voss kommune har NGU i 1999 utført georadarmålinger og en del grunnboringer for å vurdere mulighetene for uttak av grunnvann i løsmasser for bruk i oppvarmingsformål ved hjelp av varmepumpe-teknikk. NVE vil ut fra tolkning av disse grunnlagsdata foreta en datamodellering av grunnvarme-potensialet i de undersøkte områdene. Undersøkelsene er begrenset til områder nær Voss sentrum og er fordelt på to hovedlokaliteter, dvs. T vindemoen og Vossevangen (vist i kartbilag -01).

Denne rapport presenterer opptak og tolkning av georadarmålingene. For tolkning av måleprofilene er resultatene fra grunnboringene (databilag 3) også benyttet. Det er i alt målt 11 profiler med samlet lengde nær 5,2 km, hvorav 4 profiler på til sammen 1,4 km er målt på T vindemoen og de øvrige 7 profilene på til sammen vel 3,7 km er målt i området Vossevangen. I tillegg til profilmålingene er det på hver lokalitet utført en CMP-måling for å bestemme radarbølge-hastighet i løsmassene.

Georadarprofilene ble målt 31.08-01.09.1999 av NGU-forskerne Atle Dagestad (prosjektleader) og Jan Fredrik Tønnesen. CMP-målingene ble utført 03.09.1999.

2. MÅLEMETODE OG UTFØRELSE

Georadar er en elektromagnetisk målemetode som kan benyttes til undersøkelse av løsmassenes lagdeling og strukturer, samt grunnvannsnivåets beliggenhet. Metoden er basert på registrering av reflekterte elektromagnetiske bølgepulser fra grenseflater i jorda. En mer detaljert beskrivelse av målinger med georadar er vedlagt i tekstbilag 1. Georadaren som ble benyttet er digital og av typen pulseEKKO 100 (Sensors & Software Inc., Canada).

For alle profilene ble det benyttet en sender på 1000V. For 3 profiler på T vindemoen (P1-P3) ble det benyttet antenner med senterfrekvens 100 MHz og med opptakstid på 1000 ns (nanosekunder) med samplingsintervall på 0,8 ns. For de øvrige profilene (P4-P10 på Vossevangen og P11 på T vindemoen) ble det anvendt antenner med senterfrekvens 50 MHz og med opptakstid på 1400 ns og samplingsintervall 1,6 ns. Nordlige del av P4 ble først målt med 100 MHz antenner, men på grunn av for begrenset dybderekkevidde ble det byttet til 50 MHz antenner, og målingene med 100 MHz antenner for P4 er ikke tatt med i profilfolkningene. For om mulig å øke dybderekkevidden i profil P1 ble de nordligste 200 m målt om igjen med 50 MHz antenner (P1B). Begge datasettene er tatt med i profilbeskrivelsen.

For å lette gjennomføringen av profilmålingene ble antennene plassert på en håndtrukket spesialvogn med en fast antenneavstand på 1,0 m. Et tilhørende målehjul registrerte avstand langs profilet, og fra en kontrollenhet ble målepunktavstanden forhåndsinnstilt slik at radaren automatisk utførte måling for hver 0,5 m. I hvert målepunkt (posisjon) ble det foretatt 8 registreringer som ble summert. Underveis langs profilet ble det skrevet inn kommentarer om kryssende profiler, veier, gjerder, kraftlinjer samt bygninger og andre terrengdetaljer for å få sikrest mulig profilposisjonering. Ved CMP-målingen ble det benyttet antenner med senterfrekvens 100 MHz og opptakstid 1000 ns for CMP1, og 50 MHz antenner og opptakstid på 1400 ns for CMP2.

Ved utskrift av profilopptakene ble det benyttet egendefinert forsterkning. Ved denne type forsterkning settes bestemte forsterkningsverdier ved bestemte tidspunkt. Ved utskrift blir forsterkningen lineært interpolert mellom forsterkningsverdiene. Georadaropptakene har et relativt kraftig innslag av teknisk støy. For å bedre signal/støyforholdet i opptakene ble høyfrekvente signaler fjernet ved filtrering. For profilene P1-P3 ble signaler med frekvens over 125 MHz fjernet, for de øvrige profilene ble frekvenser over 94 MHz fjernet før utskrift. I utskriftene er også variasjoner i terrengoverflaten lagt inn. Terrenghøyden er avlest fra kommunale kart med 1 m koteavstand, og utskriftene er forsynt med høydeakser som refererer til havnivå. Tabell 1 viser en oversikt over de målte profilene og angir sted, lengde, hvilken antennefrekvens som er benyttet og i hvilke kartbilag profilutskriftene er gjengitt.

Penetrasjonsdypet (dybderekkevidden) vil være viktigste indikator for mulighetene for uttak av grunnvann fra løsmassene, da dette som regel vil beskrive mektigheten av sand/grus-dominerte avsetninger. Det kan være forholdsvis god penetrasjon også i finsanddominerte avsetninger selv med et visst siltinnhold, men disse vil være dårlige vanngivere. Refleksjonsmønsteret vil som regel kunne gi en del tilleggsinformasjon om avsetningstyper og materialsammensetning. I tekstbilag 2 er vist et skjema (etter Beres & Haeni, 1991) som kan være til hjelp for tolkning av sammenhengen mellom refleksjonsmønster og løsmassetype.

Tabell 1. Oversikt over profilenes plassering, lengde og benyttet antennefrekvens

| Profil | Sted | Antenner (MHz) | Lengde (m) | Kartbilagsnr. |
|--------|-------------|----------------|------------|---------------|
| P1 | Tvildemoen | 100 | 600.5 | -02 |
| P1B | Tvildemoen | 50 | 202.0 | -02 |
| P2 | Tvildemoen | 100 | 204.0 | -03 |
| P3 | Tvildemoen | 100 | 440.5 | -03 |
| P11 | Tvildemoen | 50 | 163.0 | -02 |
| P4 | Vossevangen | 50 | 911.0 | -04 |
| P5 | Vossevangen | 50 | 567.0 | -04 |
| P6 | Vossevangen | 50 | 299.0 | -05 |
| P7 | Vossevangen | 50 | 697.5 | -05 |
| P8 | Vossevangen | 50 | 557.0 | -06 |
| P9 | Vossevangen | 50 | 299.5 | -07 |
| P10 | Vossevangen | 50 | 417.5 | -07 |

3. RESULTATER

Utskrift av georadaropptakene samt lokaliseringkart for georadarprofiler og sonderboringer er vist i kartbilagene -02 – -07. Tolket dyp ned til grunnvannsspeil og finstoff for området Vossevangen framgår av databilag 2. Resultater fra sonderboringer og testpumpingar framgår av databilag 3.

3.1 Tvildemoen (P1, P1B, P2, P3 og P11)

Utskrift av georadaropptakene samt lokalisering av profilene er vist i kartbilag -02 for P1, P1B og P11 på nordvestlige del av moen og i kartbilag -03 for P2 og P3 på den sørøstlige del

av moen. Utskrift av CMP-opptak (CMP1) med hastighetsanalyse er vist i databilag 1 og det framgår av den at radarbølgehastigheten ned til et tidsdyp på 330 ns ligger på rundt 0,11 m/ns. Denne verdi er brukt for beregning av høydeskala i profilutskriftene. Den forholdsvis høye hastighetsverdien representerer stort sett umettede løsmasseavsetninger og eventuelt også fjell.

3.1.1 Profilbeskrivelser

Langs P1, P1B og P11 (kartbilag -02) er det ingen entydig og gjennomgående fjellreflektor eller entydig grunnvannsspeil. I borpunkt 5 ved pos. 60 i P11 er det sand, grus og stein ned til 3,7 m, sand med noe grovt materiale videre ned til 9,7 m, deretter sand/finsand ned til fjell på 15,5 m dyp (databilag 3 side 5). I P11 ligger da fjell i overgang mellom kraftig reflektor og mer usammenhengende reflektorer under (ca. 66 m o.h.). Det opptrer derfor en god del reflektivitet fra strukturer i berggrunnen. Mot NV-enden av P11 skråner fjellet opp til rundt 70 m o.h. En skarp reflektor rundt 72 m o.h. (pos. 25-100) kan representere grunnvannsspeil og kan muligens følge overflaten av sand/finsand-laget. Fjelloverflaten kan skråne ned mot 60 m o.h. med løsmassemektighet på vel 20 m i sørligste del (fra pos. 120), men kan også ligge opptil 10 m grunnere.

Langs P1 (og P1B) er løsmassemektigheten tolket å være rundt 5 m lengst NØ (ca. 75 m o.h.). Den øker til rundt 15 m ved pos. 90-100 men avtar til 10-12 m i området pos. 120-170. Den øker muligens igjen til 15 m ved pos. 200. Videre opptrer det en ryggform av antatt fjell eller muligens morene og i området pos. 250-340 er mektighet av overliggende avsetninger begrenset til 5-8 m. Løsmassemektigheten øker trolig til 12-13 m ved pos. 360 og vil da være av denne størrelse fram til pos. 460. Det regnes at dyptgående skråreflektorer med fall mot NØ langs profilet skyldes strukturer i fjell (pos. 470-520) og løsmassemektigheten kan være bare 5 m ved pos. 510. Det er usikkert om fjelloverflaten ligger dagnært videre mot SV (pos. 540-600) eller om reflektor i nivå 59-62 m o.h. representerer fjelloverflaten.

Grunnvannsspeil er ikke klart definert langs profilene P2 og P3 (kartbilag -03), men kan ligge på 3-4 m dyp langs sørvestlige del av P2 (51-52 m o.h. pos. 35-75). Indikasjoner på fjelloverflaten er mest usikker langs P2. Reflektor på fra 4 til 6 m dyp (48-51 m o.h.) i området pos. 10-75 kan representere fjell, da må underliggende reflektivitet stamme fra strukturer i fjell. Det kan ikke utelukkes at fjelloverflaten ligger dypere i nivå 42-43 m o.h. Fjelloverflaten kan også fortsette i nivå på vel 40 m o.h. også videre mot nordøst, men kaotisk refleksjonsmønster over tilsier at fjelloverflaten kan ligge overflatenært eller at materialet over fjell er morenedominert. Langs sørvestlige del av P3 regnes fjelloverflaten å ligge 9-12 m dypt i nivå rundt 45 m o.h. fram til pos. 90. Den stiger opp videre under bakkeskråningen, og under terrasseflaten i nordøst (pos. 185-440) fortsetter den som en markert reflektor som varierer fra 56 til 62 m o.h. og ligger 4 –10 m dypt under terrasseflaten. Markerte skråreflektorer i området pos. 80-160 er støysignaler, muligens refleksjoner fra tett granskog langs vegen.

3.1.2 Konklusjon

Tolkningen av georadaropptakene indikerer at løsmassemektigheten på Tvedemoen stort sett varierer mellom 5 og 15 m (maks.20 m). Boring har også påvist fjell på vel 15 m dyp sentralt NV på moen. Løsmasser under grunnvannsspeil opptrer bare under enkelte deler av moen, og mektigheten av vannmettet sone i løsmassene er begrenset til noen få meter. Løsmassene har variabel og til dels kompleks sammensetning og er for en del også morenedominert.

Tvildemoen regnes å være dårlig egnet for uttak av større mengder grunnvann og det vil ikke bli utført oppfølgende modellberegninger for kvantitativ vurdering av grunnvarmepotensialet.

3.2 Vossevangen (P4, P5, P6, P7, P8, P9 og P10)

Utskrift av georadaropptakene samt lokaliseringskart for profilene er vist i kartbilag -04 for P4 og P5 sentralt plassert i området, i kartbilag -05 for P6 og P7 lokalisert lenger mot nordvest, i kartbilag -06 for P8 langs østsiden av Vosso og i kartbilag -07 for P9 og P10 lenger sør i området mellom elverunningene av Vosso og Bordalselva. Utskrift av CMP-opptak (CMP2) med hastighetsanalyse er vist i databilag 1 side 2, og det framgår av den at den gjennomsnittlige radarbølgehastigheten ned til et tidsdyp på 700 ns ligger på rundt 0.08 m/ns. For avsetningene i umettet sone øverst vil nok hastigheten være noe høyere.

For området Vossevangen skal NVE på grunnlag av georadartolkninger og grunnboringer utføre modellberegninger for mer kvantitativ vurdering av grunnvarmepotensialet. For hvert profil er det i den forbindelse gjort en tabellarisk tolkning som viser dyp til grunnvannsspeil og dyp til tette masser, dvs. dyp ned til finstoffrikt materiale, morene eller fjell. Disse tolkningene er vist i databilag 2. Dyp til tette masser samsvarer stort sett med penetrasjonsdypet langs profilene.

3.2.1 Profilbeskrivelser

Profil P4 (kartbilag -04) langs vestsiden av Vosso følger gruslagt gangveg.

Grunnvannsspeilet kan sees som en markert reflektor langs store deler av profilet fra nær 48 m o.h. i nord til rundt 46 m o.h. i sør og ligger 5-6 m under terrengoverflaten. Oppaket er dominert av skrålagningsfall mot sør langs profilet og indikerer markert deltautbygging av sand/grus-dominert materiale ut mot Vangsvatnet. En del av eller hele overflatelaget over grunnvannsspeilet er dominert av horisontale reflektorer. Penetrasjonsdypet varierer betydelig langs profilet og likeså reflektiviteten. En del variasjoner skyldes nok demping av georadarsignalet på grunn av laterale variasjoner i elektrisk ledningsevne overflatenaert, men kan også skyldes materialendringer på større dyp. Penetrasjonen er begrenset til 9-10 m under grunnvannsspeilet lengst nord i profilet, men varierer stort sett mellom 15 og 24 m i området pos. 50- 720 m. I området pos. 270-600 m er det innslag av nærmiljøreflektorer i de dypere partier. Det kan bety at avsetningene her er mer finkornige enn ellers, men kan også skyldes at materialet er avsatt mer på tvers av profilretningen. I området pos. 720-780 m stikker det opp en ryggform av antatt morene eller fjell, og toppunkt ved pos. 750 m ligger bare få meter under grunnvannsspeilet. Sør for ryggen øker penetrasjonen kraftig og når ned til vel 30 m under grunnvannsspeilet mot sørrenden av profilet. Sonderboring 3 noen få m til side for P4 i nord (pos. 65 m) indikerer sand/grus ned til 5 m dyp, sand/finsand ned til 12 m og finsand/silt videre ned til vel 35 m under terrengoverflaten (databilag 3 side 3). Dette indikerer at påvist skrålagningsstedsvis kan representerer forholdsvis finkornige masser (finsand-dominerte). I silt-dominerte masser vil radarbølgeenergien bli absorbert.

Profil P5 (kartbilag -04) følger gruslagt gangveg fra P5 og vestover forbi idrettsplasser (pos. 0-235 m), asfaltert veg fram til pos. 493 og gressmark og åpen strand mot vestenden ved Vangsvatnet. Grunnvannsspeilet kan sees som en markert reflektor langs store deler av profilet i nivå 48-46 m o.h. og dypet varierer stort sett mellom 4 og 7 m med unntak av

strandsonen lengst vest. Avsetningene er dominert av skrålagning med fall mot vest langs profilet, men det er stedvis også innslag av tilsynelatende mer flattliggende reflektorer. Langs store deler av de sentrale deler av profilet er reflektiviteten svak og utsydelig, noe som tyder på forholdsvis lite variasjon i lagsammensetningen, men det er usikkert om svak reflektivitet skyldes finstoffrike masser. Det ser ut til å være betydelig demping av georadar signalet overflatenårt og høyt støynivå på grunn av ulike tekniske anlegg og bygninger.

Penetrationsdypet under grunnvannsspeilet øker fra rundt 15 m ved østenden til 25-26 m i området pos. 75-190 m og avtar til rundt 15 m igjen pos. 280-460 m for så å øke til rundt 25 m igjen i vestligste del. Undersøkelsesbrønn 6 sør for pos. 155 m i profilet viser at avsetningene består av grusig sand ned til et dyp på nærmere 25 m under terrengoverflaten med noe variabel men god pumpekapasitet (databilag 3 side 6). Undersøkelsesbrønn 2 lenger vest og vel 100 m sør for profilet rundt pos. 385 m viser at det er sand og grus med god vannkapasitet ned til vel 18 m under overflaten (15 m under grunnvannsspeil) med finsand/silt under (databilag 3 side 2). Dette samsvarer med redusert penetrasjon i georadarprofilet.

Profil P6 (kartbilag -05) følger åpen mark, dels harvet jord og dels eng. Grunnvannsspeilet opptrer nær gjennomgående rundt 46 m o.h. og 4-5 m under terrengnivå. Penetrationsdypet under grunnvannsspeil er rundt 15 m sentralt i profilet (pos. 55-225 m), mens det er opp mot 20 m i sørøst og øker til vel 20 m mot nordvestenden. Det er indikert slak skrålagning med tilsynelatende fall mot nordvest langs profilet i begge ender, mens det sentralt er mer horisontale reflektorer, men også til dels kaotisk refleksjonsmønster. Begrenset penetrasjon sentralt kan indikere innslag av mer finstoffrike avsetninger mot dypet. Dette samsvarer med undersøkelsesbrønn 1 som ligger ca. 70 m nordøst for profilet ved pos. 155 m. Der er det indikert sand/grus med brukbar vanngiverevn ned til rundt 17 m under grunnvannsspeil, mens det under er antatt å være tette morenemasser (databilag 3 side 1).

Profil P7 (kartbilag -05) går vestover parallelt med strandlinjen langs nordsiden av Vangsvatnet, og østenden ligger ca. 60 m vest for slutten av P6. Grunnvannsspeilet er bare stykkevis synlig langs profilet på 3-4 meters dyp og nær 46 m o.h. I østlige del (pos. 0-180 m) indikerer svak reflektivitet fra 8-9 m dyp under grunnvannsnivå overgang til forholdsvis finstoffrike avsetninger. Reflektor som skråner opp fra vel 20 m dyp under overflaten ved pos. 60 m til knapt 10 m dyp ved pos. 215 m er antatt å være fjelloverflaten. Videre vestover er det bare 3-6 m dyp under grunnvannsspeil til antatt finstoffrikt materiale fram til pos. 340 m, og det er mulig at fjelloverflaten bare ligger få meter dypere. Langs resten av profilet indikeres forholdsvis kraftig reflektivitet i materialet over antatt fjellreflektor som varierer stort sett mellom 8 og 11 m dyp under terrengoverflaten. Kraftig reflektivitet mot tilsynelatende større dyp i området pos. 515-665 m skyldes siderefleksjoner fra bygninger/mur. Sonderboring 4 ved pos. 442 m bekrefter at fjelloverflaten ligger på ca. 10 m dyp. Øverst er det 3-4 m med stein, sand og grus og derunder sand med noe grovt materiale (databilag 3 side 4).

Profil P8 (kartbilag -06) er målt langs gang- og vegbane parallelt med østsiden av Vosso. Grunnvannsspeil ligger rundt 47-48 m o.h. og er høyest i nord. Plasseringen er noe usikker da det er flere kraftige horisontale reflektorer i overflatematerialet, og umettet sone kan være 6-7 m tykk. Materialet under har slak skrålagning med fall mot sør langs profilet og indikerer sand/grus-dominerte deltaavsetninger som i P4. Mektigheten av vannmettet materiale over finstoff er ut fra penetrasjondypet anslått til 12-15 m i området pos. 0-240 m og 8-10 m videre fram til pos. 440 m. Fjelloverflaten (eller morene) kommer opp mot sørrenden av profilet og kan ligge mindre enn 6-7 m under overflaten de sørligste 25 m. Sonderboring 9 (databilag 3 side 9) ved pos. 377 m i P8 indikerer stein, grus og sand ned til 4 m dyp, derunder vesentlig sand ned til 12 m hvor det ser ut til å komme inn mer finstoffrikt materiale (siltig finsand).

Profilene P9 og P10 (kartbilag -07) er målt i området mellom utløpet av Vosso fra nordøst og Bordalselva fra sørøst. For P9 nordøstover langs Vosso ligger grunnvannsspeil bare 1-2 m under overflaten og er vanskelig å skille ut fra direktebølgen i opptaket. Penetrasjonsdypet i materialet under er mellom 18 og 24 m, men noe mindre lengst sør. I området pos. 40-150 m er avsetningene preget av skråreflektorer med fall mot sørvest. I området pos. 125-250 m stikker det opp en slak ryggformet avsetningsstruktur som når opp til rundt 40 m o.h. Det er usikkert om dette materialet, som må være avsatt før det overliggende, er noe mer finstofffrikt eller om det er tilsvarende materiale, men avsatt på tvers av profilretningen. Lengst i sørvest er det indikert noen skråstrukturer med østlig fall, men det er usikkert om disse skyldes reell skrålagnings i løsmassene eller diffraksjoner/støy. Litt lenger mot sørvest, i nordligste del av P10, er det indikert skråreflektorer med fall mot nord og viser at materialet er avsatt i nordlig retning fra utløpet av Bordalselva. Grunnvannsspeilet opptrer som en meget markert reflektor sørover langs hele P10 i nivå rundt 46 m o.h. Penetrasjonsdyp under grunnvannsspeil er 10-15 m i nordlige del (pos. 0-220 m). I området pos. 140-210 m er imidlertid reflektiviteten meget svak. Dette skyldes sannsynligvis infiltrasjon i grunnvannet av forurensset vann fra slamdeponiet like ved. I området pos. 155-185 m er det også redusert reflektivitet i en del av materialet over grunnvannsspeil. Penetrasjonsdypet videre mot sørvest er i området 17-22 m og er dominert av skråreflektorer med vestlig fall.

3.2.2 Konklusjon

Sentrale deler av Vossevangen mellom Vosso og Vangsvatnet synes å ha et høyt grunnvarmepotensiale. I området som dekkes av georadarprofilene P4, P5 og P6 og boringene 1, 2, 3, 6 og 7, er det indikert at mektigheter av vannmettede sand/grus-avsetninger stort sett varierer mellom 15 og 25 m, med unntak av en ryggform av fjell eller morene som stikker nær opp til grunnvannsspeil i P4.

Område vest, dvs. vestover langs nordsiden av Vangsvatnet, synes å ha et meget begrenset grunnvarmepotensiale. I området som dekkes av georadarprofil P7 og boring 4, er det indikert at mektigheter av vannmettede sand/grus-avsetninger er forholdsvis små og varierer fra 3 til maksimum 9 m. Boring viser at dyp til fjell fra terrengoverflaten der er 10 m.

Området øst for Vosso, dvs. området som dekkes av georadarprofil P8 og boringene 8 og 9, synes å ha et visst grunnvarmepotensiale, men betydelig mindre enn i området vest for elva. Mektighet av vannmettede sand/grusavsetninger varierer stort sett i området 6-14 m, men lengst sør i området kommer morene/fjell opp over grunnvannsspeil.

Område sør, dvs. området mellom utløpene av Vosso og Bordalselva i Vangsvatnet, synes å ha forholdsvis høyt grunnvarmepotensiale. Mektigheter av vannmettede sand/grus-avsetninger er begrenset til mellom 10 og 15 m sentralt i måleområdet (dvs. sørligst i P9 og nordlige halvdel av P10), mens de er på 17 til 24 m både videre sørover og nordover i området.

4. REFERANSER

Beres, M. Jr. & Haeni, F. P. 1991: Application of ground-penetrating-radar methods in hydrogeologic studies. *Ground water* 29, 375-386.

GEORADAR - METODEBESKRIVELSE

Georadar er en elektromagnetisk målemetode som kan benyttes til undersøkelse av lagdeling og strukturer i grunnen. Med en spesiell antennen sendes elektromagnetiske bølgepulser ned i jorda. En del av bølgeenergien blir reflektert tilbake til overflaten når bølgepulsen treffer en grense som representerer en endring i mediets dielektriske egenskaper. Resten av energien vil fortsette nedover og det kan fås reflekterte signaler fra en rekke grenseflater. Refleksjonene kan registreres med en mottakerantenne på overflaten. De mottatte signaler overføres til en kontrollenhett for forsterkning (og digitalisering ved digital georadar). Signalene sendes derfra til skriver (ved analog georadar) eller PD (digital georadar). Fra en utskrift av et georadar-opptak kan toveis gangtid (t_{2v}) til de forskjellige reflektorene avleses. For å bestemme virkelig dyp til en reflektor må bølgehastigheten (v) i overliggende medium være kjent eller kunne bestemmes.

Bølgehastigheten kan bestemmes ved CDP-målinger ('common depth-point'). Slike målinger utføres ved å flytte sender- og mottakerantenne skrittvis og like langt ut til hver side fra et fast midtpunkt og registrere for hver ny posisjon. Refleksjoner vil da ideelt sett komme fra samme punkt på en reflektor som er planparallel med overflaten. Når antennearvstanden øker, vil reflekterte bølger få lengre gangvei og økning i gangtid. Denne økning i gangtid kan det ved digitale opptak kompenseres for ved å utføre NMO-korreksjon ('normal move-out'). Størrelsen på korreksjonen er avhengig av antennearvstand, toveis gangtid og bølgehastighet i materialet over reflektoren. Et CDP-opptak korrigeres med forskjellige hastigheter, og den hastighet som etter NMO-korreksjon gir best amplitude etter summering av trasene, angir radarbølgehastigheten i mediet.

Etter at hastigheten er bestemt kan dypet (d) beregnes etter uttrykket;

$$d = \frac{vt_{2v}}{2}$$

I vakuum er bølgehastigheten lik lyshastigheten: $c = 3.0 \cdot 10^8$ m/s. I alle andre media gjelder følgende relasjon;

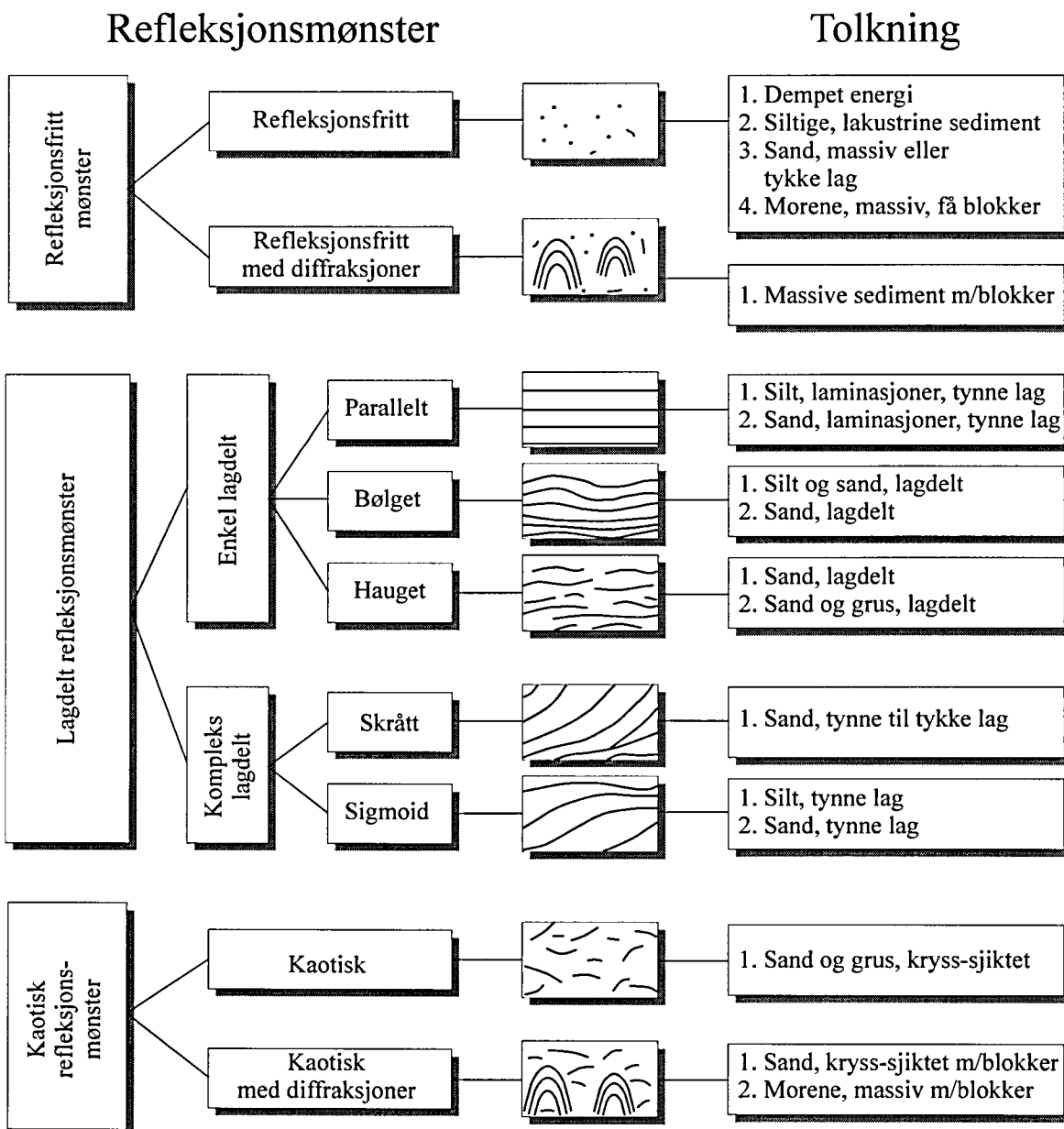
$$\epsilon_r = \left(\frac{c}{v}\right)^2$$

hvor ϵ_r er det relative dielektrisitetstallet. ϵ_r -verdien for et materiale vil derfor være en bestemmende faktor for beregning av dyp til reflektorer. I tabellen på neste side er det gitt en oversikt over erfaringstall for ϵ_r i en del materialtyper. Tabellen viser også hastigheter og ledningsevne i de samme media.

Dybderekkevidden for georadarmålinger er i stor grad avhengig av elektrisk ledningsevne i grunnen og av den utsendte antennefrekvens. Både økende ledningsevne og en økning i antennefrekvens vil føre til hurtigere dempning av bølgepulsene og dermed minkende penetrasjon. I godt ledende materiale som marin silt og leire vil penetrasjonen være helt ubetydelig. I dårlig ledende materiale som f.eks. tørr sand, kan det forventes en dybderekkevidde på flere titalls meter når det benyttes en lavfrekvent antenn (f.eks. 50 eller 100 Mhz). For grunnere undersøkelser vil en mer høyfrekvent antenn gi bedre vertikal oppløsning.

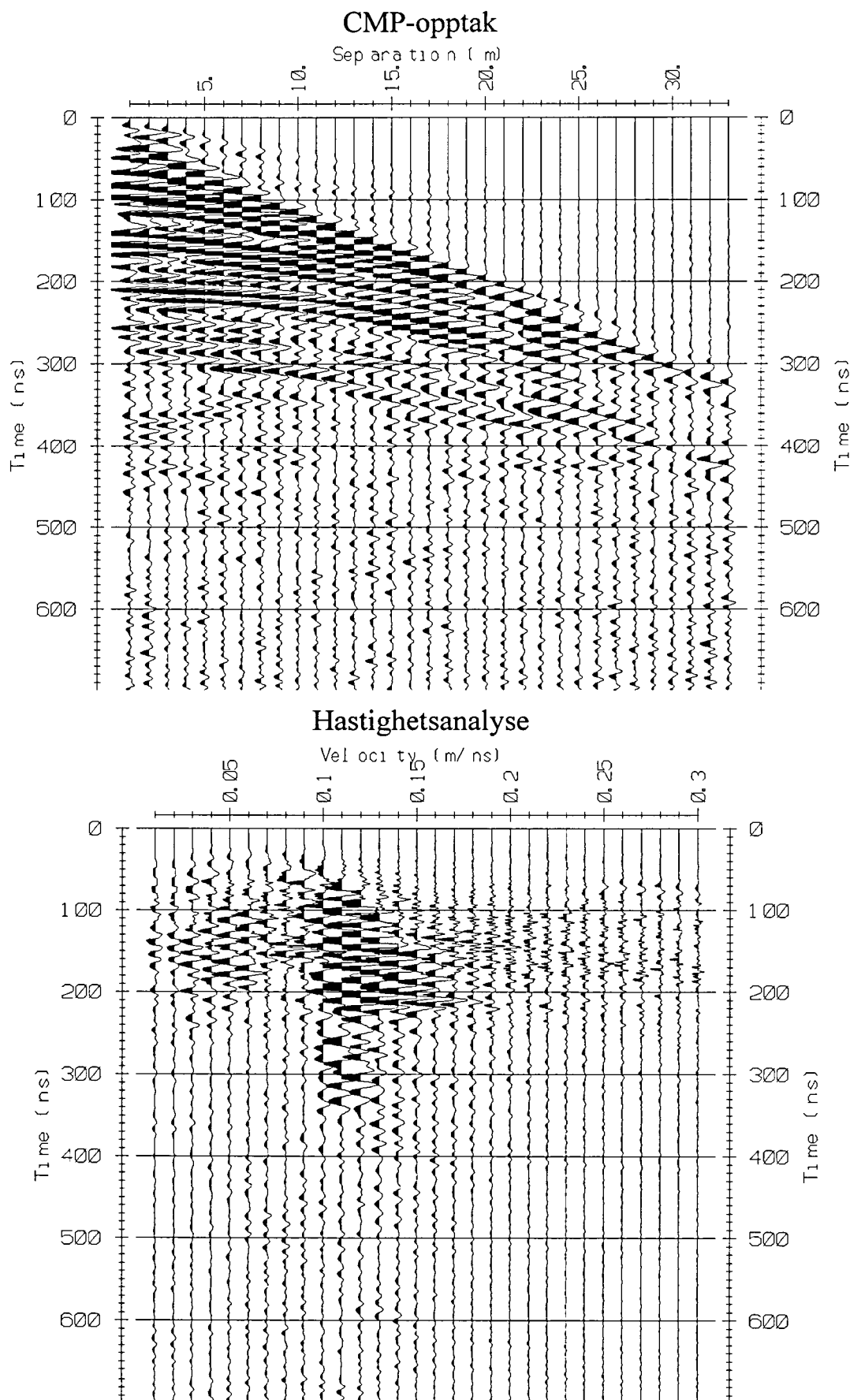
| <u>Medium</u> | <u>ϵ_r</u> | <u>v (m/ns)</u> | <u>ledningsevne (mS/m)</u> |
|------------------------|--------------------------------|-----------------|----------------------------|
| <i>Luft</i> | 1 | 0.3 | 0 |
| <i>Ferskvann</i> | 81 | 0.033 | 0.1 |
| <i>Sjøvann</i> | 81 | 0.033 | 1000 |
| <i>Leire</i> | 5-40 | 0.05-0.13 | 1-300 |
| <i>Tørr sand</i> | 5-10 | 0.09-0.14 | 0.01 |
| <i>Vannmettet sand</i> | 15-20 | 0.07-0.08 | 0.03-0.3 |
| <i>Silt</i> | 5-30 | 0.05-0.13 | 1-100 |
| <i>Fjell</i> | 5-8 | 0.10-0.13 | 0.01-1 |

Tabell over relativt dielektrisitetstall, radarbølge-hastigheter og ledningsevne i vanlige materialtyper.

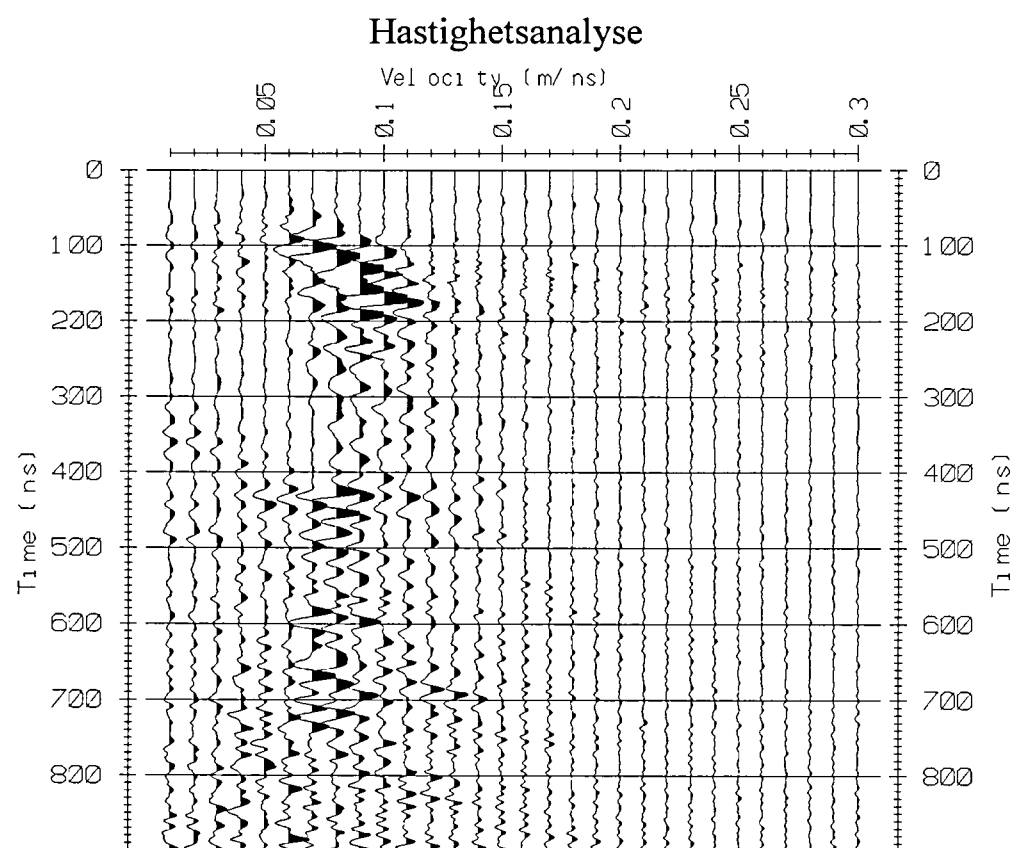
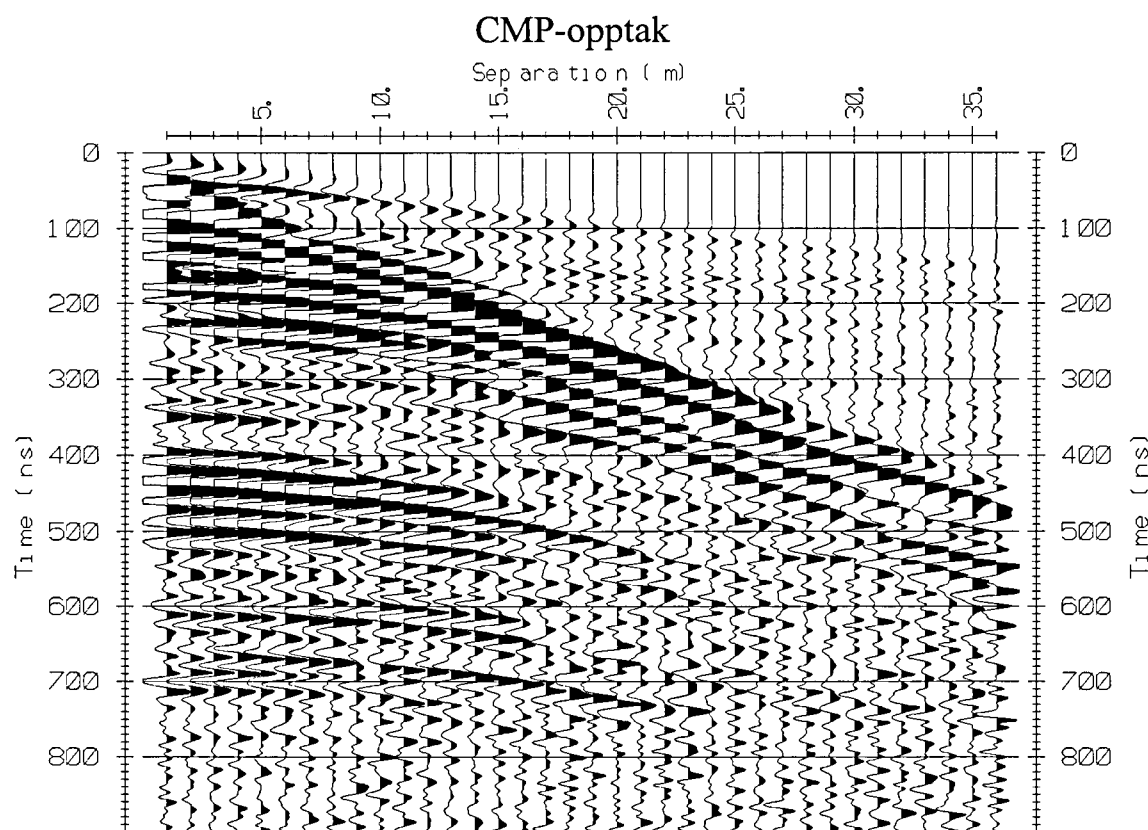


Skjema som knytter refleksjonsmønster på georadaropptak til avsetningstype og lagdeling (etter Beres & Haeni, 1991).

Voss, Tvildemoen, CMP1, lokalisert ved pos.118 m i P1



Voss, Vossevangen, CMP2, lokalisert ved pos. 454 m i P4



Tabellarisk tolkning av dyp til grunnvannsspeil og dyp til tette masser for P4-P10

Tabell 1: Tolket dyp ned til grunnvannsspeil, finstoff og morene/fjell i profil 4.

| GRUNNVANN | | FINSTOFF | | MORENE/FJELL | |
|-----------------|------------|-----------------|------------|-----------------|------------|
| Posisjon (m) | Dyp (m) | Posisjon (m) | Dyp (m) | Posisjon (m) | Dyp (m) |
| 0 | 5 | 0 | 14 | 710 | 24 |
| 100 | 5 | 45 | 19.5 | 740 | 12.5 |
| 200 | 5 | 75 | 19.5 | 750 | 8.5 |
| 260 | 6 | 90 | 23.5 | 780 | 16.5 |
| 400 | 6 | 125 | 27.5 | 800 | 23 |
| 500 | 6 | 140 | 27.5 | | |
| 560 | 6 | 160 | 19.5 | | |
| 620 | 5 | 210 | 20 | | |
| 750 | 5 | 255 | 22 | | |
| 820 | 5 | 320 | 24.5 | | |
| 840 | 5.5 | 340 | 22 | | |
| 911 | 5.5 | 400 | 22 | | |
| | | 430 | 30 | | |
| | | 500 | 23.5 | | |
| | | 525 | 29 | | |
| | | 560 | 28 | | |
| | | 600 | 23.5 | | |
| | | 680 | 27 | | |
| | | 710 | 24 | | |
| | | | | | |
| | | 800 | 23 | | |
| | | 911 | 37 | | |

Tabell 2: Tolket dyp ned til grunnvannsspeil og finstoff i profil 5.

| GRUNNVANN | | FINSTOFF | |
|-----------------|------------|-----------------|------------|
| Posisjon (m) | Dyp (m) | Posisjon (m) | Dyp (m) |
| 0 | 6 | 0 | 22 |
| 35 | 7 | 35 | 22 |
| 90 | 6.5 | 75 | 31 |
| 125 | 5 | 90 | 32 |
| 240 | 5 | 125 | 31 |
| 280 | 6.5 | 180 | 31 |
| 290 | 6.5 | 240 | 25 |
| 325 | 5.5 | 280 | 20 |
| 390 | 5 | 390 | 20 |
| 460 | 5 | 460 | 20 |
| 525 | 4 | 525 | 27 |
| 568 | 0 | 568 | 25 |

Tabell 3: Tolket dyp ned til grunnvannsspeil og finstoff i profil 6.

| GRUNNVANN | | FINSTOFF | |
|-----------------|------------|-----------------|------------|
| Posisjon (m) | Dyp (m) | Posisjon (m) | Dyp (m) |
| 0 | 4.5 | 0 | 25 |
| 100 | 5 | 80 | 20 |
| 160 | 5 | 200 | 19 |
| 250 | 5 | 250 | 19 |
| 299 | 5 | 299 | 27 |

Tabell 4: Tolket dyp ned til grunnvannsspeil, finstoff og morene/fjell i profil 7.

| GRUNNVANN | | FINSTOFF | | MORENE/FJELL | |
|-----------------|------------|-----------------|------------|-----------------|------------|
| Posisjon (m) | Dyp (m) | Posisjon (m) | Dyp (m) | Posisjon (m) | Dyp (m) |
| 110 | 5 | 0 | 12.5 | 60 | 21.5 |
| 200 | 4 | 180 | 12 | 110 | 15 |
| 300 | 4 | | | 200 | 11.5 |
| 500 | 4 | 225 | 6 | 215 | 9 |
| 550 | 4 | 255 | 8 | | |
| | | 300 | 9 | 320 | 14 |
| | | 340 | 10 | 345 | 9.5 |
| | | | | 360 | 8 |
| | | | | 395 | 11 |
| | | | | 425 | 8.5 |
| | | | | 450 | 10.5 |
| | | | | 480 | 11 |
| | | | | 565 | 9 |
| | | | | 615 | 10 |
| | | | | 660 | 16 |

Tabell 5: Tolket dyp ned til grunnvannsspeil, finstoff og morene/fjell i profil 8.

| GRUNNVANN | | FINSTOFF | | MORENE/FJELL | |
|-----------------|------------|-----------------|------------|-----------------|------------|
| Posisjon (m) | Dyp (m) | Posisjon (m) | Dyp (m) | Posisjon (m) | Dyp (m) |
| 0 | 6 | 0 | 18 | 490 | 15 |
| 100 | 6 | 100 | 20.5 | 525 | 6 |
| 200 | 6 | 190 | 20 | 540 | 6.5 |
| 300 | 6 | 240 | 17 | 550 | 4.5 |
| 350 | 6.5 | 350 | 15.5 | | |
| 400 | 6.5 | 380 | 14.5 | | |
| 475 | 6.5 | 440 | 15 | | |
| 525 | 6 | 490 | 11 | | |

Tabell 6: Tolket dyp ned til grunnvannsspeil og finstoff i profil 9.

| GRUNNVANN | | FINSTOFF | |
|-----------------|------------|-----------------|------------|
| Posisjon (m) | Dyp (m) | Posisjon (m) | Dyp (m) |
| 0 | 1.5 | 0 | 18 |
| 100 | 1 | 100 | 25 |
| 250 | 1 | 190 | 20 |
| 300 | 2 | 300 | 20 |

Tabell 7: Tolket dyp ned til grunnvannsspeil og finstoff i profil 10.

| GRUNNVANN | | FINSTOFF | |
|-----------------|------------|-----------------|------------|
| Posisjon (m) | Dyp (m) | Posisjon (m) | Dyp (m) |
| 0 | 6 | 0 | 22 |
| 25 | 6 | 25 | 19 |
| 65 | 9 | 65 | 19 |
| 160 | 9 | 160 | 18 |
| 200 | 8.5 | 200 | 18 |
| 230 | 6 | 240 | 27 |
| 280 | 6 | 280 | 23 |
| 310 | 4.5 | 310 | 21 |
| 350 | 3 | 360 | 24 |
| 418 | 2.5 | 390 | 27 |
| | | 418 | 25 |

RESULTATER GRUNNBORINGER VOSS (UNDERSØKELSESBRØNNER OG SONDERBORINGER)

Tabell 1: Resultater fra undersøkelsesbrønn 1 (ved Tinghuset)

| Dyp (m) | Materialtype | Testpump. (l/min) | Temp (°C) | Ledn.evne (uS/cm) | pH | Jern (mg/l) | Merknad |
|-----------|-------------------------|----------------------|--------------|----------------------|------|----------------|-------------------------|
| 0-1,7 | Stein, sand | | | | | | |
| 1,7-2,7 | Sand og grus | | | | | | |
| 2,7-3,7 | Stein, sand, grus | | | | | | |
| 3,7-4,7 | Sand og grus | | | | | | |
| 4,7-5,7 | | | | | | | |
| 5,7- 6,7 | Grus | | | | | | Grunnvannst. ca. 5,0 m |
| 6,7-7,7 | Sand og grus | 50 | 10,2 | 177,6 | 6,50 | | |
| 7,7-8,7 | " | | | | | | |
| 8,7-9,7 | " | 90 | 8,8 | 135,0 | 5,33 | | |
| 9,7-10,7 | " | | | | | | |
| 10,7-11,7 | " | 90 | 8,7 | 143,3 | 5,40 | < det.gr. | |
| 11,7-12,7 | " | | | | | | |
| 12,7-13,7 | " | 40 | 9,4 | 136,4 | 5,49 | < det.gr. | |
| 13,7-14,7 | " | | | | | | |
| 14,7-15,7 | " , noe grovere | 40 | 9,4 | 134,5 | 5,38 | < det.gr. | 8,6 °C målt i røret |
| 15,7-16,7 | " | | | | | | |
| 16,7-17,7 | " | 15 | 9,9 | 137,5 | 5,46 | 0,02 | |
| 17,7-18,7 | " , vekslende grovt | | | | | | |
| 18,7-19,7 | " | 30 | 9,3 | 136,5 | 5,44 | 0,49 | Jernanalyse noe usikker |
| 19,7-20,7 | " | | | | | | |
| 20,7-21,7 | " | 30 | 9,4 | 133,2 | 5,27 | 0 | |
| 21,7-22,7 | Morene (?) fra ca. 22 m | | | | | | |
| 22,7-23,7 | Morene (?) | Ingen | | | | | Tette harde masser |
| 23,7-24,7 | Sand, noe grus | | | | | | " |
| 24,7-25,7 | Morene (?) | | | | | | " |
| 25,7-26,7 | Morene (?) | | | | | | " |
| 26,7-27,7 | Morene (?) | | | | | | " |
| 27,7-28,7 | Morene (?) | | | | | | " |
| 28,7-29,7 | Morene (?) | | | | | | " |

Tabell 2: Resultater fra undersøkelsesbrønn 2 (ved behandlingsanlegget)

| Dyp (m) | Materialtype | Testpump. (l/min) | Temp (°C) | Ledn.evne (uS/cm) | pH | Jern (mg/l) | Merknad |
|-----------|-------------------------|----------------------|--------------|----------------------|------|----------------|---------------------------|
| 0-1,7 | Jord, sand | | | | | | |
| 1,7-2,7 | Sand og grus | | | | | | |
| 2,7-3,7 | Stein, sand, grus | | | | | | Grunnvannst. ca. 3,36 m |
| 3,7-4,7 | Sand | | | | | | |
| 4,7-5,7 | Sand, noe grus | | | | | | |
| 5,7- 6,7 | Sand | | | | | | |
| 6,7-7,7 | Sand og grus | 200 | 6,8 | 63,3 | Def. | | |
| 7,7-8,7 | -----" | | | | | | |
| 8,7-9,7 | Sand | 40 | 7,0 | 60,6 | | | |
| 9,7-10,7 | Sand og grus | | | | | | |
| 10,7-11,7 | -----" | 45 | 7,2 | 69,1 | | 0,05 | |
| 11,7-12,7 | Sand | | | | | | |
| 12,7-13,7 | Sand og grus | 60 | 6,7 | 69,9 | | < det.gr | Temp. målt i brønn: 6,7°C |
| 13,7-14,7 | Sand | | | | | | |
| 14,7-15,7 | Sand | 90 | 6,9 | 73,4 | | | |
| 15,7-16,7 | Sand og grus | | | | | | |
| 16,7-17,7 | -----", noe hardt | 55 | 7,1 | 85,0 | | | |
| 17,7-18,7 | -----", vekslende hardt | | | | | | |
| 18,7-19,7 | Finsand, silt | Dårlig vanngj. | | | | | |
| 19,7-20,7 | -----" | | | | | | |
| 20,7-21,7 | -----" | | | | | | |
| 21,7-22,7 | -----" | | | | | | |

Tabell 3: Resultater fra sonderboring 3 (ved Vossabygg)

| Dyp (m) | Materiatype | Testpump. (l/min) | Temp (°C) | Ledn.evne (uS/cm) | pH | Jern (mg/l) | Merknad |
|-----------|---------------------------|----------------------|--------------|----------------------|----|----------------|-----------------------------------|
| 0-1,7 | Sand | | | | | | |
| 1,7-2,7 | Sand og grus | | | | | | |
| 2,7-3,7 | Sand | | | | | | |
| 3,7-4,7 | --" | | | | | | |
| 4,7-5,7 | --" | | | | | | |
| 5,7- 6,7 | Sand, finsand | | | | | | |
| 6,7-7,7 | --"----- | | | | | | |
| 7,7-8,7 | --"----- | | | | | | |
| 8,7-9,7 | --"----- | | | | | | |
| 9,7-10,7 | --"----- | | | | | | |
| 10,7-11,7 | --"----- | | | | | | |
| 11,7-12,7 | Finsand, silt | | | | | | |
| 12,7-13,7 | --"----- | | | | | | |
| 13,7-14,7 | --"----- | | | | | | |
| 14,7-15,7 | --"----- | | | | | | |
| 15,7-16,7 | --"----- | | | | | | |
| 16,7-17,7 | --"----- | | | | | | |
| 17,7-18,7 | --"-----, vekslende hardt | | | | | | |
| 18,7-19,7 | Finsand, silt | | | | | | Finsand, silt helt ned til 35,7 m |
| 19,7-20,7 | --"----- | | | | | | |
| 20,7-21,7 | --"----- | | | | | | |
| 21,7-22,7 | --"----- | | | | | | |
| | | | | | | | |
| | | | | | | | |
| | | | | | | | |
| | | | | | | | |
| v | | | | | | | |
| 34,7-35,7 | --"----- | | | | | | |

Tabell 4: Resultater fra sonderboring 4 (ved hotell Fleicher)

| Dyp (m) | Materialtype | Boreslamfarge | Vanntrykk (kg) | Merknad |
|----------|--------------------------|---------------|----------------|-------------------------------|
| 0-1,7 | Stein, sand | Grå/brun | | |
| 1,7-2,7 | Stein, sang, grus | -----" | | |
| 2,7-3,7 | Stein, sand, grus | -----" | | |
| 3,7-4,7 | Sand med noe grovt matr. | -----" | | |
| 4,7-5,7 | -----" | -----" | 4 | |
| 5,7-6,7 | -----" | -----" | 4 | |
| 6,7-7,7 | -----" | -----" | 1 | |
| 7,7-8,7 | -----" | -----" | 1 | |
| 8,7-9,7 | -----" | -----" | 1 | Spylt; dårlig vanngjennomgang |
| 9,7-10,7 | Fjell fra 10,2 meter | | | |

Tabell 5: Resultater fra sonderboring 5 (ved Tvildemoen)

| Dyp (m) | Materialtype | Boreslamfarge | Vanntrykk (kg) | Merknad |
|-----------|--------------------------|---------------|----------------|--------------------|
| 0-1,7 | Stein, sand | Grå | | |
| 1,7-2,7 | Stein, sang,grus | Borte | | |
| 2,7-3,7 | Stein, sand, grus | ----"---- | 4 | |
| 3,7-4,7 | Sand med noe grovt matr. | ----"---- | 4 | |
| 4,7-5,7 | -----"----- | ----"---- | 5-8 | |
| 5,7-6,7 | -----"----- | ----"---- | 4 | |
| 6,7-7,7 | -----"----- | ----"---- | 4-6 | |
| 7,7-8,7 | Sand | ----"---- | 4-6 | |
| 8,7-9,7 | Sand med noe grovt matr. | ----"---- | 4-6 | |
| 9,7-10,7 | Sand / finsand | Grå | 3 | Harde tette masser |
| 10,7-11,7 | -----"----- | ----"---- | 3 | |
| 11,7-12,7 | -----"----- | ----"---- | 3 | |
| 12,7-13,7 | -----"-----, noe grovt | ----"---- | 3 | |
| 13,7-14,7 | -----"----- | ----"---- | 2 | |
| 14,7-15,7 | Fjell fra 15.5 meter | ----"---- | | |

Tabell 6: Resultater fra undersøkelsesbrønn 6 (ved Idrettsplassen)

| Dyp (m) | Materialetype | Testpump. (l/min) | Temp (oC) | Ledn.evne (uS/cm) | pH | Jern (mg/l) | Merknad |
|-----------|-----------------|----------------------|-----------|-------------------|----|-------------|-------------------------|
| 0-1,7 | Stein, sand | | | | | | |
| 1,7-2,7 | Sand | | | | | | |
| 2,7-3,7 | Sand, noe grovt | | | | | | |
| 3,7-4,7 | Sand | | | | | | Grunnvannst. ca. 4,31 m |
| 4,7-5,7 | Grusig sand | | | | | | |
| 5,7- 6,7 | "-----" | | | | | | |
| 6,7-7,7 | "-----" | 60 | 7,7 | 212 | | | Masseprøve, pumpet |
| 7,7-8,7 | "-----" | | | | | | |
| 8,7-9,7 | "-----" | | | | | | |
| 9,7-10,7 | "-----" | | | | | | |
| 10,7-11,7 | "-----" | 40 | 7,7 | 109 | | | Masseprøve, pumpet |
| 11,7-12,7 | "-----" | | | | | | |
| 12,7-13,7 | "-----" | | | | | | |
| 13,7-14,7 | "-----" | | | | | | |
| 14,7-15,7 | "-----, hardt | 75 | 7,2 | 92 | | | |
| 15,7-16,7 | "-----, ---" | | | | | | |
| 16,7-17,7 | "-----, ---" | 70 | 6,6 | 92 | | | |
| 17,7-18,7 | "-----, løsere | | | | | | |
| 18,7-19,7 | "-----, ---" | 120 | 6,3 | 101 | | | Masseprøve, pumpet |
| 19,7-20,7 | "-----, hardt | | | | | | |
| 20,7-21,7 | "-----" | 135 | 6,0 | 96 | | < det.gr. | |
| 21,7-22,7 | "-----" | | | | | | |
| 22,7-23,7 | "-----" | 120 | 6,2 | 90 | | | |
| 23,7-24,7 | "-----" | | | | | | |
| 24,7-25,7 | Sand | 5-10 | | | | | |

Tabell 7: Resultater fra undersøkelsesbrønn 7 (ved Hestavangen), 12 meter står igjen som peilerør.

| Dyp (m) | Materialtype | Boreslamfarge | Vanntrykk (kg) | Merknad |
|-----------|-------------------|---------------|----------------|---|
| 0-1,7 | Stein, sand, grus | | | |
| 1,7-2,7 | -----" | | | |
| 2,7-3,7 | Sand, | | | |
| 3,7-4,7 | Grusig sand | | | |
| 4,7-5,7 | -----" | | | |
| 5,7- 6,7 | -----" | | 3 | |
| 6,7-7,7 | -----", hardt | | 3 | |
| 7,7-8,7 | -----", --" | | | |
| 8,7-9,7 | -----", --" | | | Grunnvannst. 8,99 m dvs. ingen sugepumping |
| 9,7-10,7 | -----" | | | |
| 10,7-11,7 | -----" | | | |
| 11,7-12,7 | -----" | | | |
| 12,7-13,7 | -----" | | | God vanngjennomgang ved spyling |
| 13,7-14,7 | -----" | | | |
| 14,7-15,7 | -----" | | | Noe vanngjennomgang ved spyling |
| 15,7-16,7 | -----", noe stein | | | |
| 16,7-17,7 | -----" | | | Noe vanngjennomgang ved spyling, masseprøve |
| 17,7-18,7 | -----" | | 2 | |
| 18,7-19,7 | Sand | | 2 | Noe vanngjennomgang ved spyling, masseprøve |
| | -----" | | | |
| | -----" | | | Økende vanntrykk mot dypet |
| | -----" | | | Blåsing med kompressor gav bare finsand |
| 28,7-29,7 | -----" | | | |

Tabell 8: Resultater fra sonderboring 8 (Tverrvegen 10)

| Dyp (m) | Materiatype | Boreslamfarge | Vanntrykk (kg) | Merknad |
|-----------|----------------------|---------------|----------------|---------|
| 0-1,7 | Stein, sand,grus | Brunt | | |
| 1,7-2,7 | "----- | Brunt/grått | | |
| 2,7-3,7 | Sand, | Grått | | |
| 3,7-4,7 | "--- | "--- | 0-4 | |
| 4,7-5,7 | "--- | "--- | 2-4 | |
| 5,7- 6,7 | "--- | "--- | 2-4 | |
| 6,7-7,7 | "---, noe grovt | "--- | 2-4 | |
| 7,7-8,7 | Sand, finsand | "--- | 2 | |
| 8,7-9,7 | "---, ---" | "--- | 2 | |
| 9,7-10,7 | "---, ---" | "--- | 2-6 | |
| 10,7-11,7 | "---, ---" noe grovt | "--- | 2-6 | |
| 11,7-12,7 | "---, ---" | "--- | 0-4 | |
| 12,7-13,7 | "----- | Brunt/grått | 0-4 | |
| 13,7-14,7 | "----- | "----- | 8-10 | |
| 14,7-15,7 | "----- | "----- | 8-10 | |
| 15,7-16,7 | Morene (?) | Grått | 8 | |
| 16,7-17,7 | "----- | "----- | 8 | |
| 17,7-18,7 | "----- | "----- | 6 | |
| 18,7-19,7 | "----- | "----- | 6 | |

Tabell 9: Resultater fra sonderboring 9 (Krysset Moveien/ Gjernesveien)

| Dyp (m) | Materialtype | Boreslamfarge | Vanntrykk (kg) | Merknad |
|-----------|-----------------------------|---------------|----------------|---------|
| 0-1,7 | Stein, sand, grus | | | |
| 1,7-2,7 | -----"----- | | | |
| 2,7-3,7 | -----"----- | | | |
| 3,7-4,7 | Sand, noe grovt materiale | Brunt | | |
| 4,7-5,7 | ---"---, -----"----- | ---"--- | | |
| 5,7- 6,7 | Sand | | | |
| 6,7-7,7 | ---"--- | | | |
| 7,7-8,7 | ---"--- | | 4-6 | |
| 8,7-9,7 | ---"--- | | 4-6 | |
| 9,7-10,7 | ---"---, finsand | | 4-6 | |
| 10,7-11,7 | ---"---, -----"----- | | 4-6 | |
| 11,7-12,7 | Finsand, siltig, hardt | | 4-6 | |
| 12,7-13,7 | ---"---, -----"---, ---"--- | | 4-6 | |

Tabell 10: Resultater fra sonderboring 10 (Utstillingsplassen ved Raundalselvi)

| Dyp (m) | Materiastype | Boreslamfarge | Vanntrykk (kg) | Merknad |
|---------|-----------------------|---------------|----------------|---------|
| 0-1,7 | Jord og stein | | | |
| 1,7-2,7 | Stein, grus, sand | | | |
| 2,7-3,7 | Sand, grus | | | |
| 3,7-4,7 | Fjell fra ca. 4 meter | | | |
| 4,7-5,7 | Fjell | | | |

Tabell 11: Resultater fra sonderboring 11 (Utstillingsplassen ved Raundalselvi)

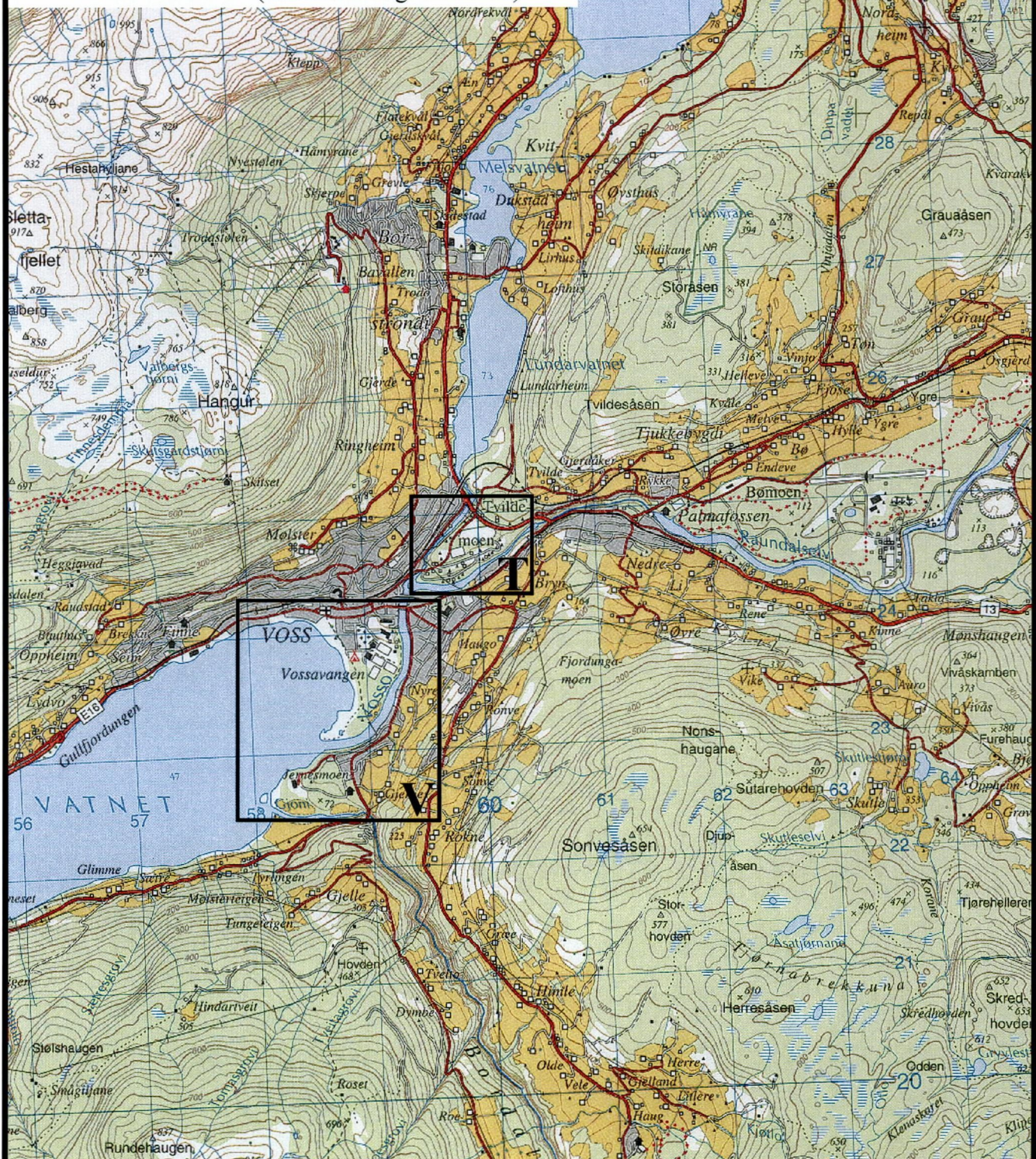
| Dyp (m) | Materiastype | Boreslamfarge | Vanntrykk (kg) | Merknad |
|---------|-------------------------|---------------|----------------|---------|
| 0-1,7 | Sand med blokk | | | |
| 1,7-2,7 | Sand, stein | | | |
| 2,7-3,7 | Sand med noe grus | | | |
| 3,7-4,7 | Fjell fra ca. 3,5 meter | | | |
| 4,7-5,7 | Fjell | | | |

Tabell 12: Resultater fra sonderboring 12 (ved Utstillingsplassen)

| Dyp (m) | Materialetype | Boreslamfarge | Vanntrykk (kg) | Merknad |
|-----------|----------------------------|---------------|----------------|----------------------------|
| 0-1,7 | Stein og blokk | | | |
| 1,7-2,7 | Sand | | | |
| 2,7-3,7 | Sand med noe grovt matr. | | | |
| 3,7-4,7 | "----- | | | |
| 4,7-5,7 | "----- | | | |
| 5,7- 6,7 | "----- | | | |
| 6,7-7,7 | "----- | | | |
| 7,7-8,7 | Finsand | | | |
| 8,7-9,7 | "--- | | | |
| 9,7-10,7 | Sand og finsand | | | |
| 10,7-11,7 | "----- | | | |
| 11,7-12,7 | "----- | | | Tette masser, mye finstoff |
| 12,7-13,7 | "----- | | | "----- |
| 13,7-14,7 | "----- | | | "----- |
| 14,7-15,7 | "----- | | | "----- |
| 15,7-16,7 | "----- | | | "----- |
| 16,7-17,7 | "----- | | | "----- |
| 17,7-18,7 | Antatt fjell på 18,2 meter | | | |

Innrammet område **T**: Georadarmålinger Tvildemoen
(vist i kartbilag -02 og -03)

Innrammet område **V**: Georadarmålinger Vossevangen
(vist i kartbilag -04 til -07)



NGU / VOSS KOMMUNE
OVERSIKTSKART - GEORADARMÅLINGER
VOSS

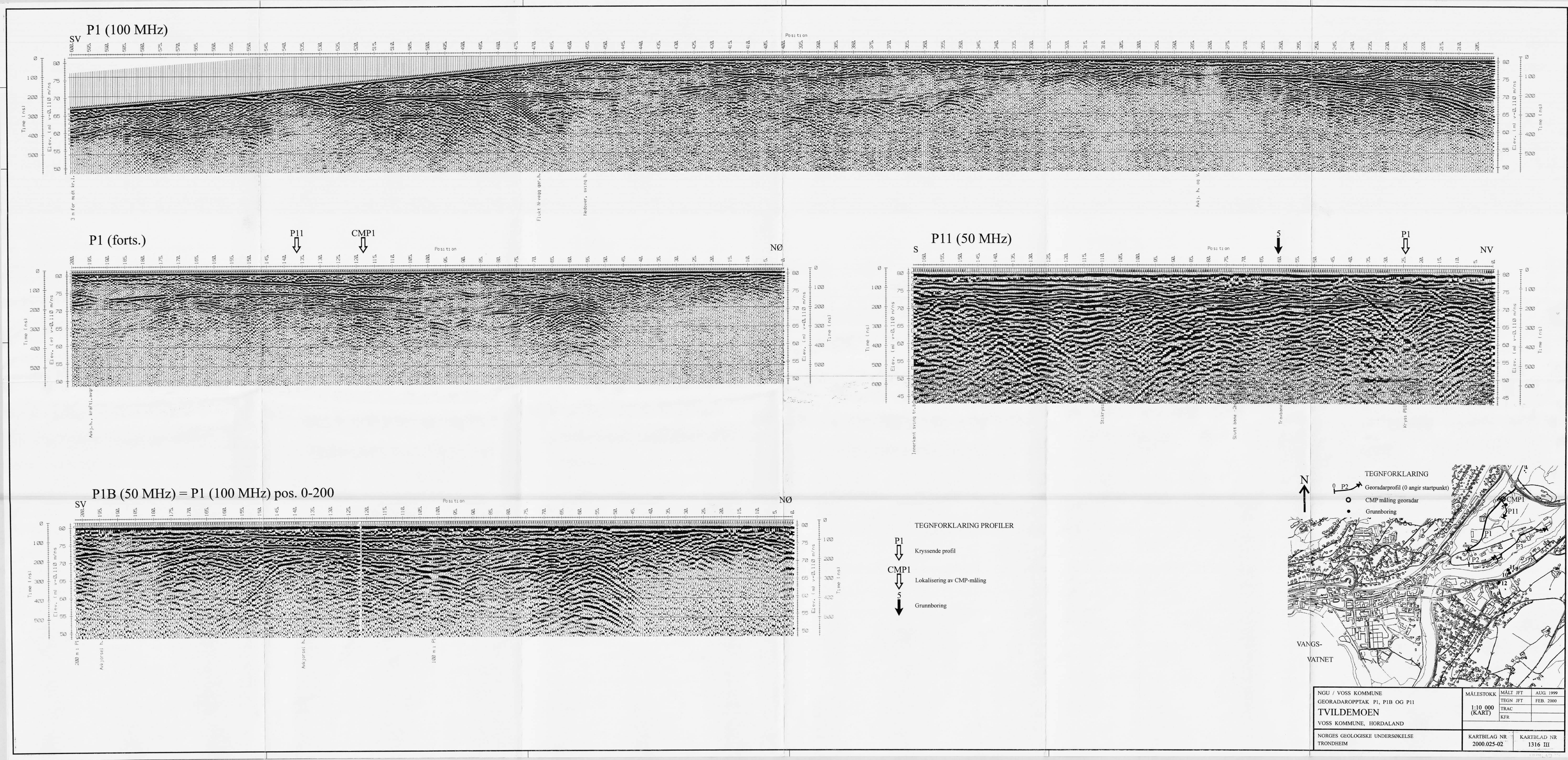
VOSS KOMMUNE, HORDALAND

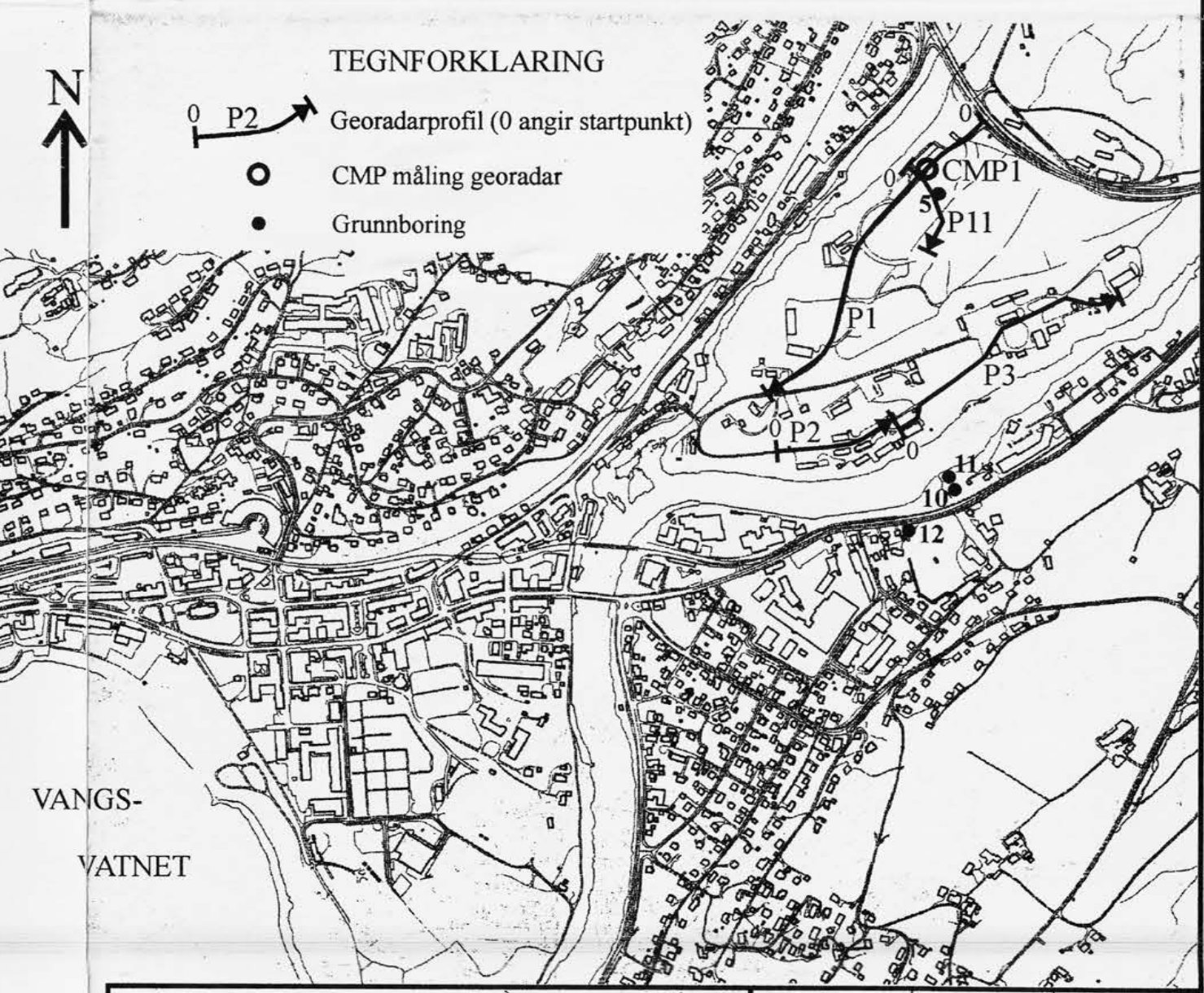
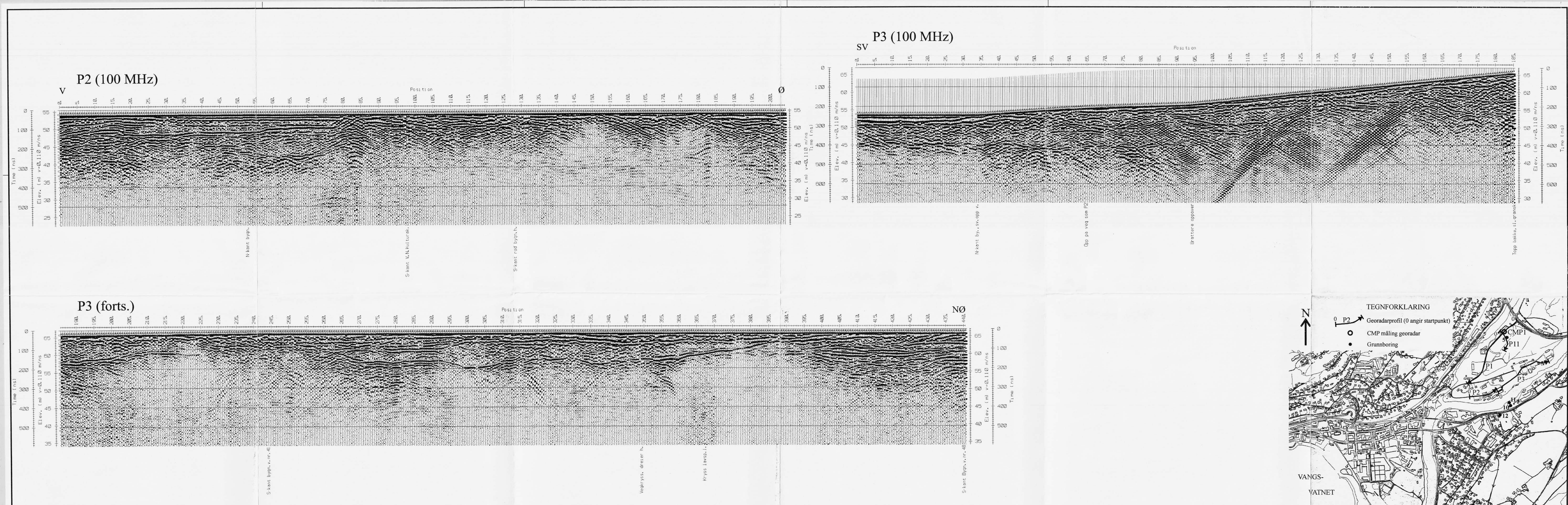
NORGES GEOLOGISKE UNDERSØKELSE
TRONDHEIM

| MÅLESTOKK | MÅLT JFT | SEP. 1999 |
|-----------|----------|-----------|
| 1:50 000 | TEGN JFT | FEB. 2000 |
| | TRAC | |
| | KFR | |
| | | |

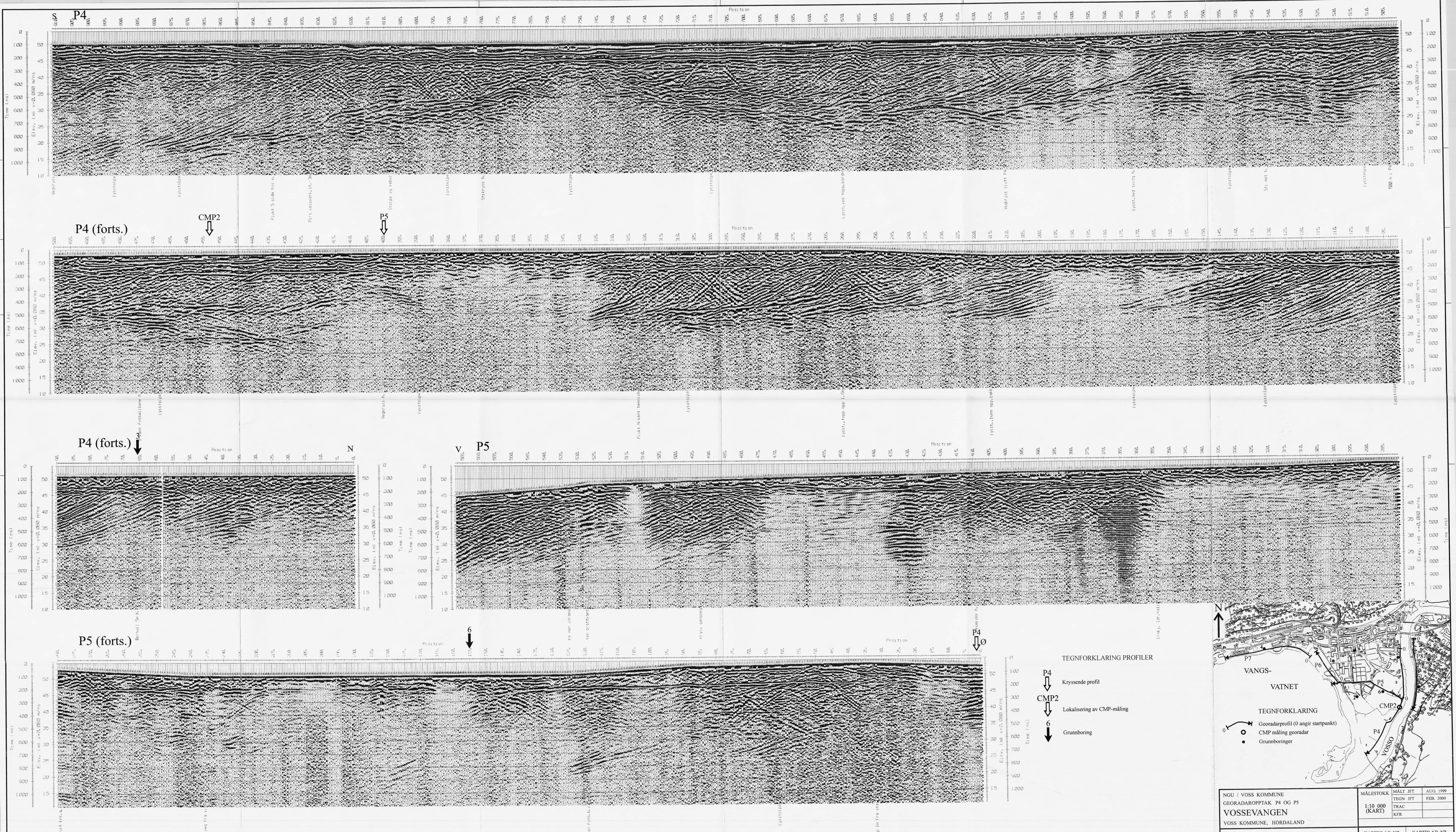
KARTBILAG NR
2000.025-01

KARTBLAD NR
1316 III





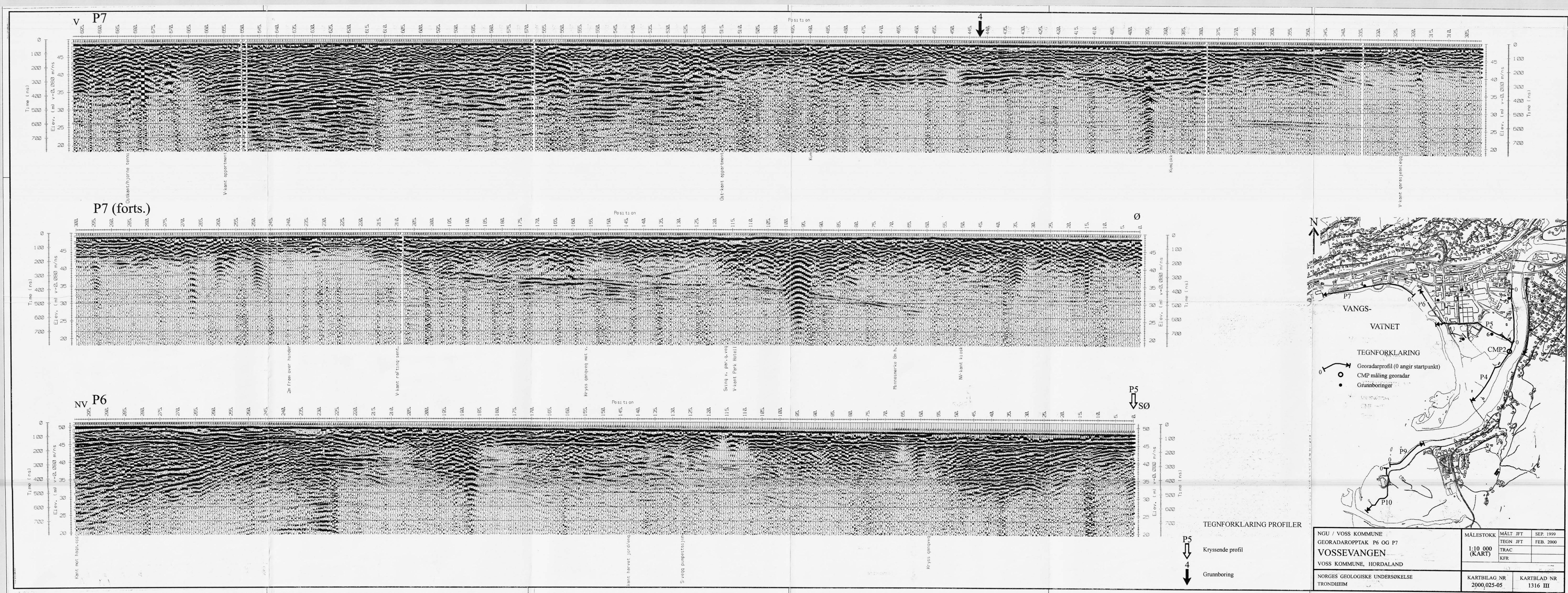
| | | | |
|--|---------------------------------|-------------------------------------|-----------------------|
| NGU / VOSS KOMMUNE GEORADAROPPTAK P2 OG P3 TVILDEMOEN VOSS KOMMUNE, HØRDALAND | MÅLESTOKK 1:10 000 (KART) | MÅLT JFT TEGN JFT TRAC KFR | AUG 1999 FEB. 2000 |
| NORGES GEOLISKE UNDERSØKELSE TRONDHEIM | KARTBILAG NR 2000.025-03 | KARTBLAD NR 1316 III | |

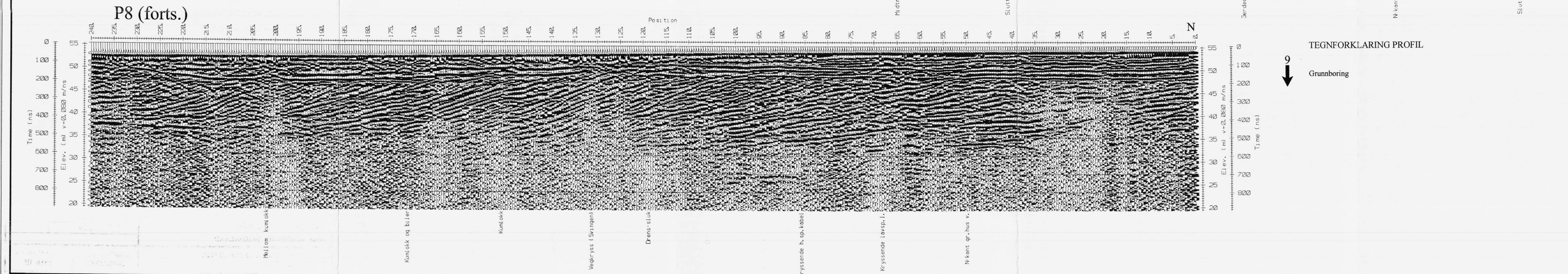
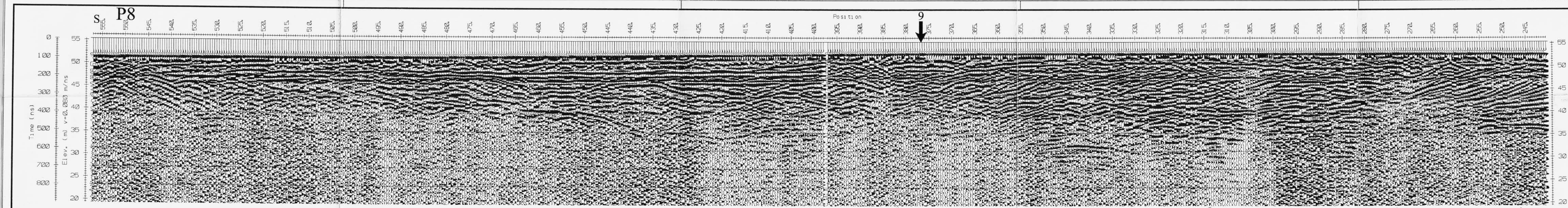


SHARING PROFILER

CMP-måling

| | | | | |
|---|---------------------------------|-----------------------------|-------------------------|--|
| VOSS KOMMUNE DAROPPTAK P4 OG P5 SEVANGEN KOMMUNE, HORDALAND | MÅLESTOKK 1:10 000 (KART) | MÅLT JFT | AUG. 1999 | |
| | | TEGN JFT | FEB. 2000 | |
| | | TRAC | | |
| | | KFR | | |
| | | | | |
| | | | | |
| S GEOLOGISKE UNDERSØKELSE HEIM | | KARTBILAG NR 2000.025-04 | KARTBLAD NR 1316 III | |





9

TEGNFORKLARING PROFIL

Grunnboring

Elev. (m) v=0, 080 m/ns

Time (ns)

Position

Start autovvern

Slutt autovvern d. s.

3. degr. gr. sportall

N-kant Rondo Sportall

CMP2

P4

P5

P6

P7

P8

P9

P10

9

N

Elev. (m) v=0, 080 m/ns

Time (ns)

Position

Midd. avlastt vedkrysset

Krysseende løvspil.

N-kant gr. hus v.

Slutt autovvern d. s.

Start autovvern

3. degr. gr. sportall

N-kant Rondo Sportall

CMP2

P4

P5

P6

P7

P8

P9

P10

9

N

Elev. (m) v=0, 080 m/ns

Time (ns)

Position

Midd. avlastt vedkrysset

Krysseende løvspil.

N-kant gr. hus v.

Slutt autovvern d. s.

Start autovvern

3. degr. gr. sportall

N-kant Rondo Sportall

CMP2

P4

P5

P6

P7

P8

P9

P10

9

N

Elev. (m) v=0, 080 m/ns

Time (ns)

Position

Midd. avlastt vedkrysset

Krysseende løvspil.

N-kant gr. hus v.

Slutt autovvern d. s.

Start autovvern

3. degr. gr. sportall

N-kant Rondo Sportall

CMP2

P4

P5

P6

P7

P8

P9

P10

9

N

Elev. (m) v=0, 080 m/ns

Time (ns)

Position

Midd. avlastt vedkrysset

Krysseende løvspil.

N-kant gr. hus v.

Slutt autovvern d. s.

Start autovvern

3. degr. gr. sportall

N-kant Rondo Sportall

CMP2

P4

P5

P6

P7

P8

P9

P10

9

N

Elev. (m) v=0, 080 m/ns

Time (ns)

Position

Midd. avlastt vedkrysset

Krysseende løvspil.

N-kant gr. hus v.

Slutt autovvern d. s.

Start autovvern

3. degr. gr. sportall

N-kant Rondo Sportall

CMP2

P4

P5

P6

P7

P8

P9

P10

9

N

Elev. (m) v=0, 080 m/ns

Time (ns)

Position

Midd. avlastt vedkrysset

Krysseende løvspil.

N-kant gr. hus v.

Slutt autovvern d. s.

Start autovvern

3. degr. gr. sportall

N-kant Rondo Sportall

CMP2

P4

P5

P6

P7

P8

P9

P10

9

N

Elev. (m) v=0, 080 m/ns

Time (ns)

Position

Midd. avlastt vedkrysset

Krysseende løvspil.

N-kant gr. hus v.

Slutt autovvern d. s.

Start autovvern

3. degr. gr. sportall

N-kant Rondo Sportall

CMP2

P4

P5

P6

P7

P8

P9

P10

9

N

Elev. (m) v=0, 080 m/ns

Time (ns)

Position

Midd. avlastt vedkrysset

Krysseende løvspil.

N-kant gr. hus v.

Slutt autovvern d. s.

Start autovvern

3. degr. gr. sportall

N-kant Rondo Sportall

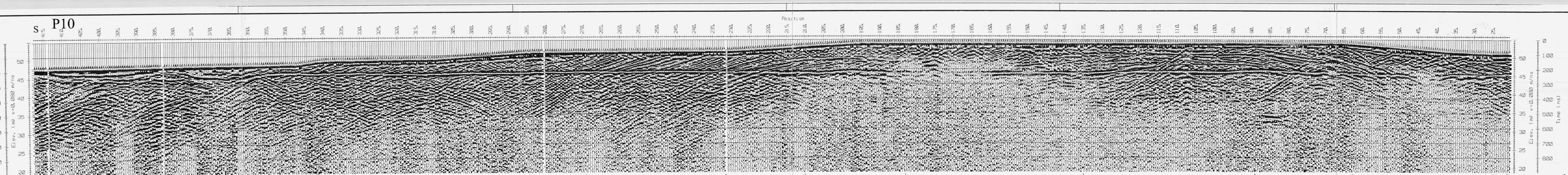
CMP2

P4

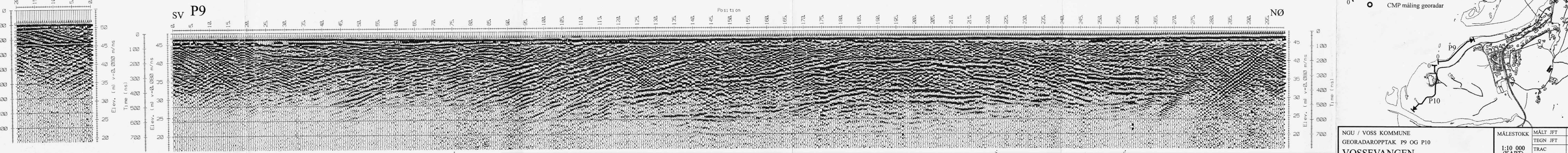
P5

P6

P7

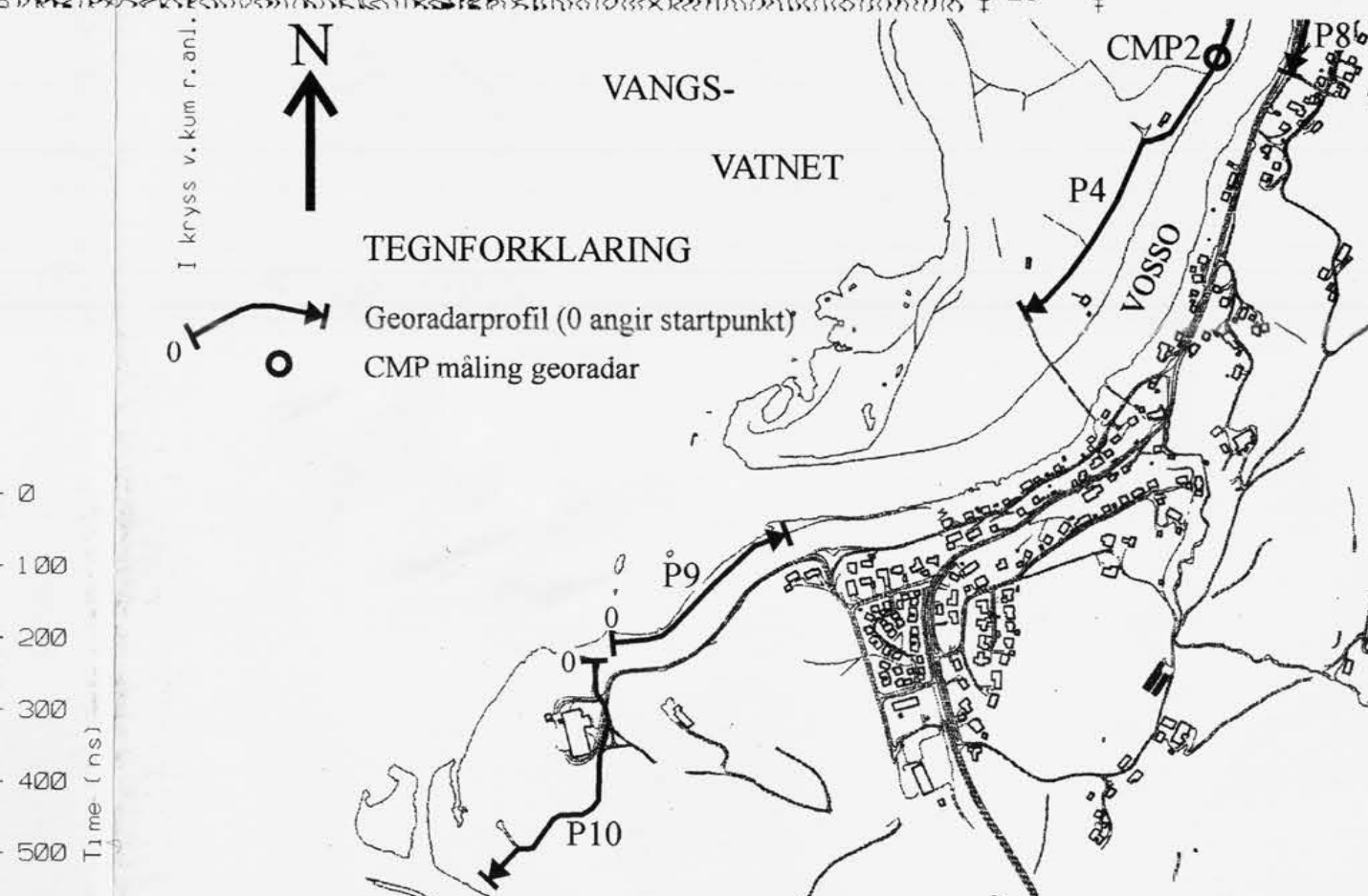


10^{Kan}(forts.) N



ORKLARING

TEGNFORKLARING



NGU / VOSS KOMMUNE
GEORADAROPPTAK P9 OG P10
VOSSEVANGEN

| | | |
|---------------------------------|----------|-----------|
| MÅLESTOKK 1:10 000 (KART) | MÅLT JFT | SEP. 1999 |
| | TEGN JFT | FEB. 2000 |
| | TRAC | |

NORGES GEOLOGISKE UNDERSØKELSE

| | | |
|--|--------------|-------------|
| | KARTBILAG NR | KARTBLAD NR |
|--|--------------|-------------|